

FIG. 1

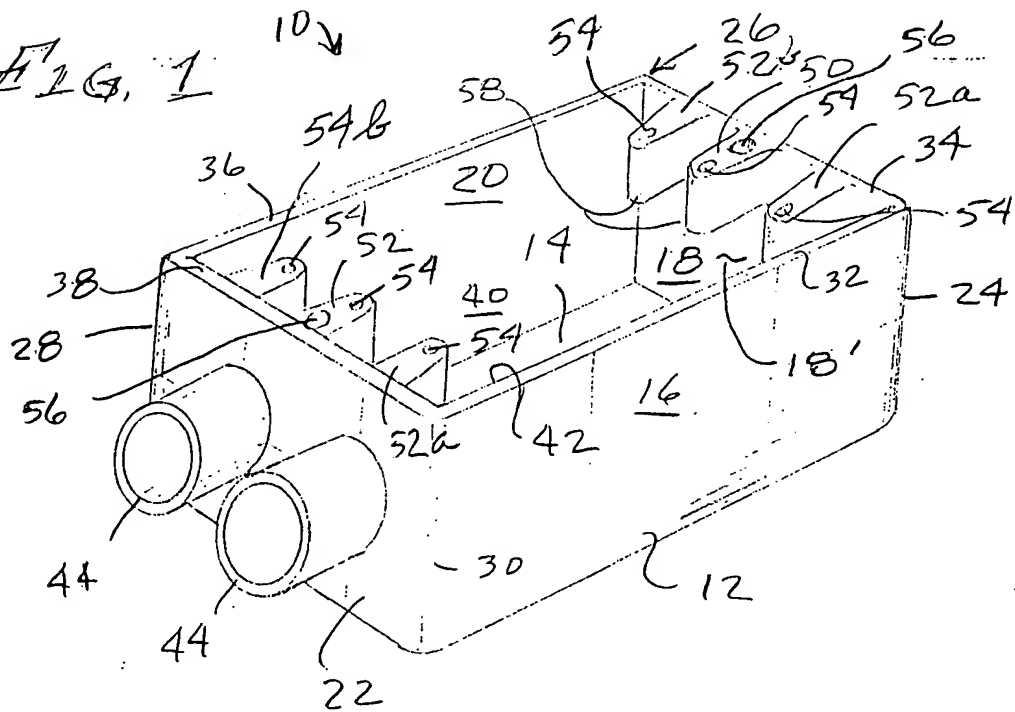
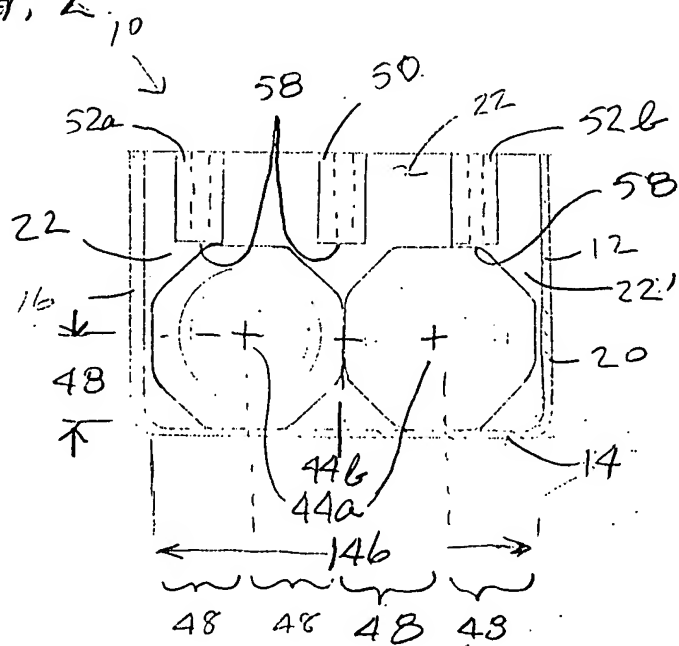
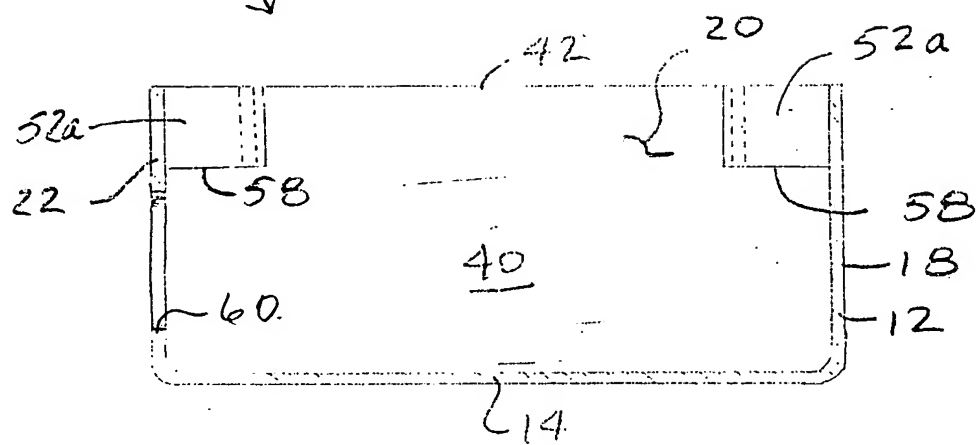


FIG. 2



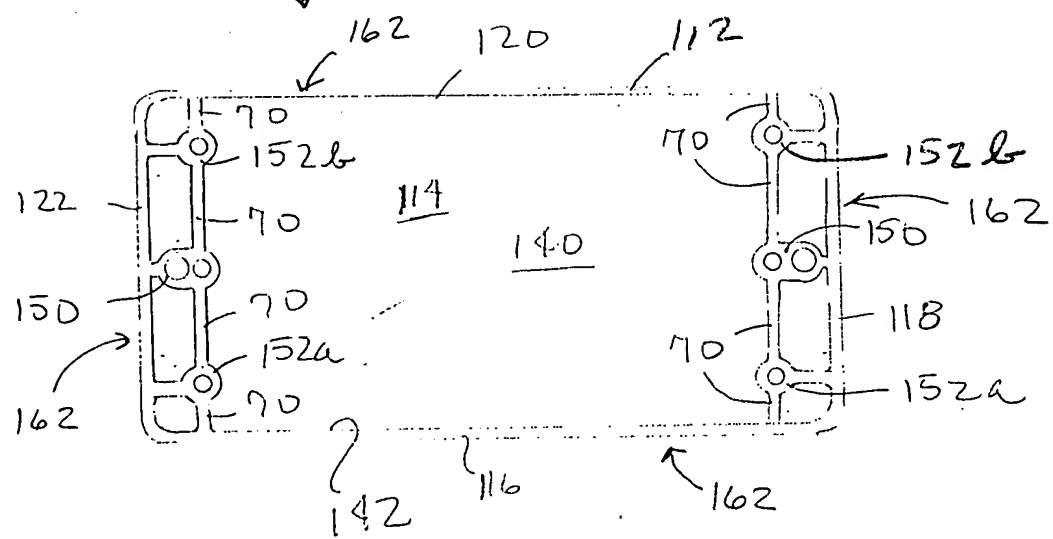
2/11

FIG. 3. 10



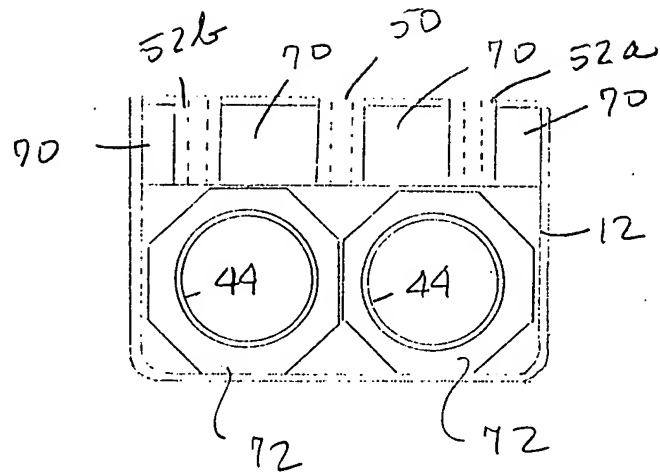
10004129.130101

FIG. 4. 110



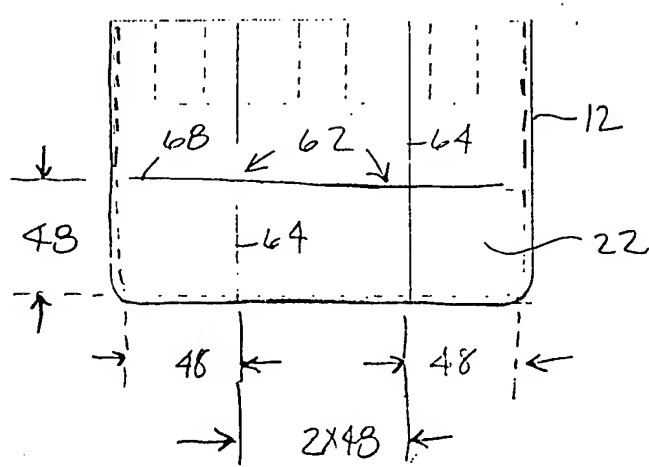
3/11

FIG. 5. 110



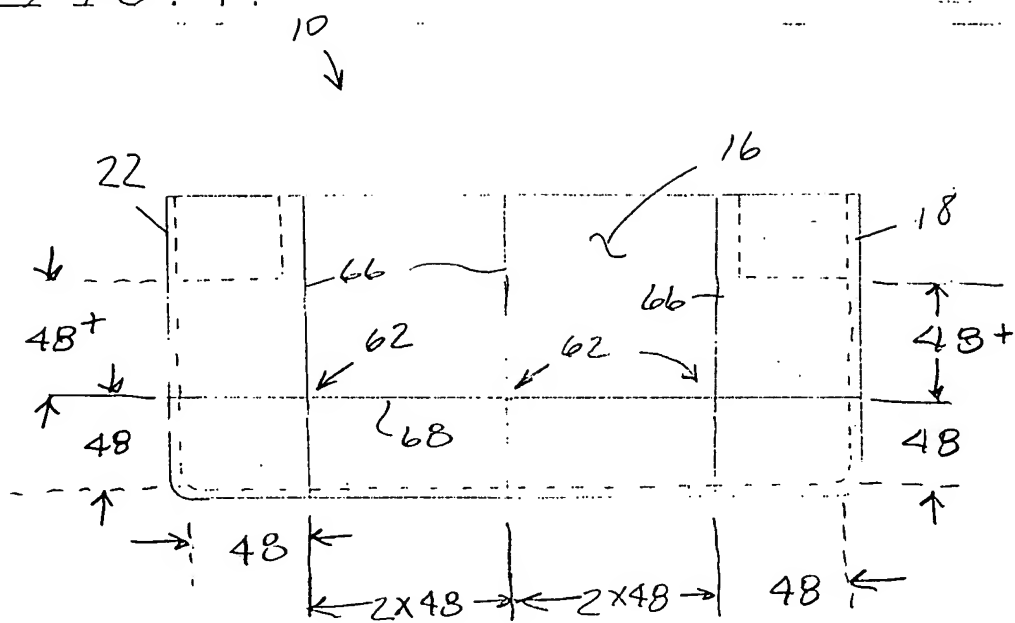
TOPSIDE E27400101

FIG. 6. 10



4 / 11

FIG. 7.



Е. А. БОЛДЫРЬ

FIG. 8a. 72

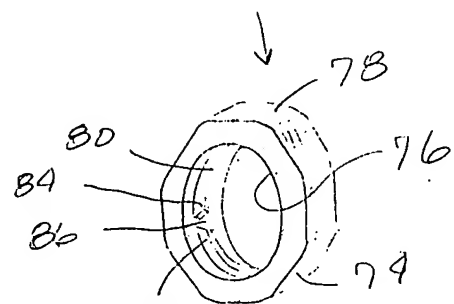
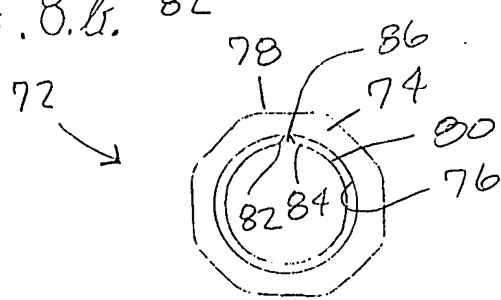


FIG. 8.6. 82



5/11

FIG. 8.

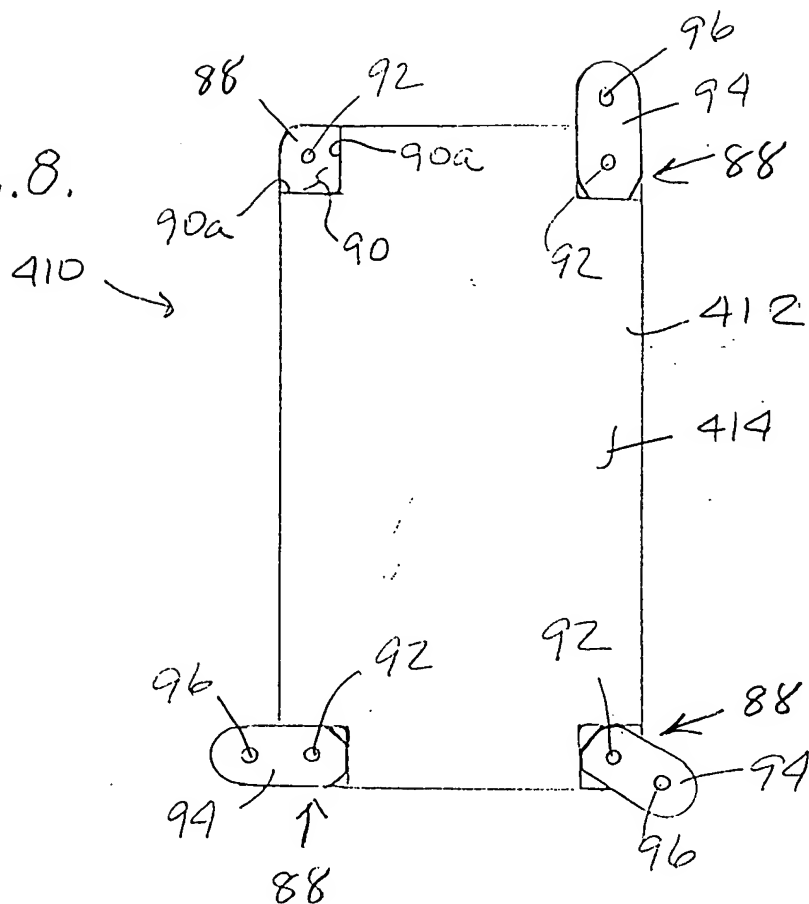


FIG. 9.

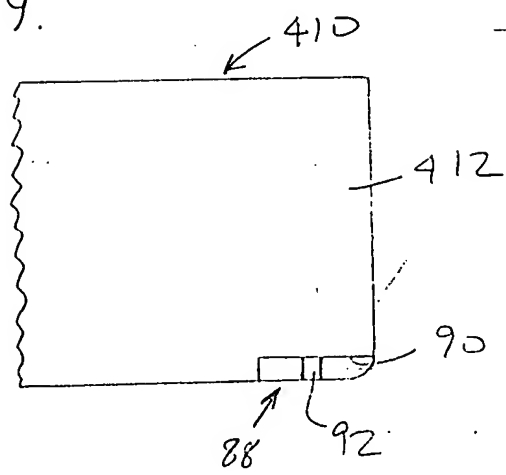


FIG. 10.

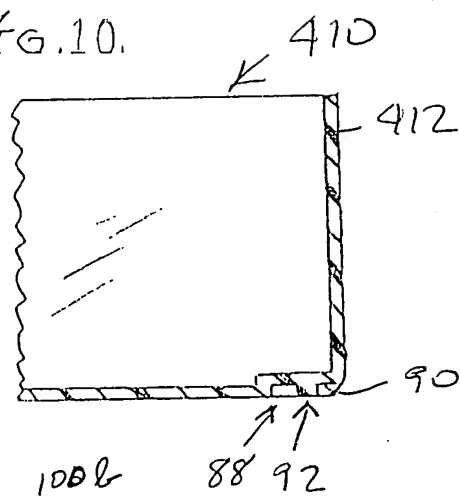
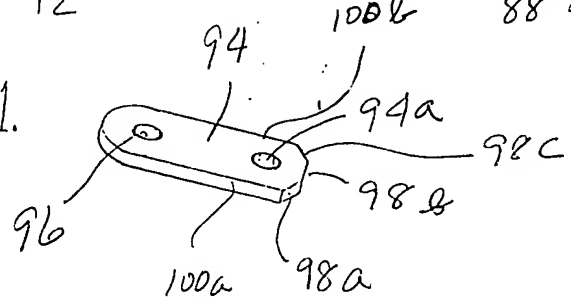


FIG. 11.



10004129-110101

6/11

FIG. 12. 102 ↗

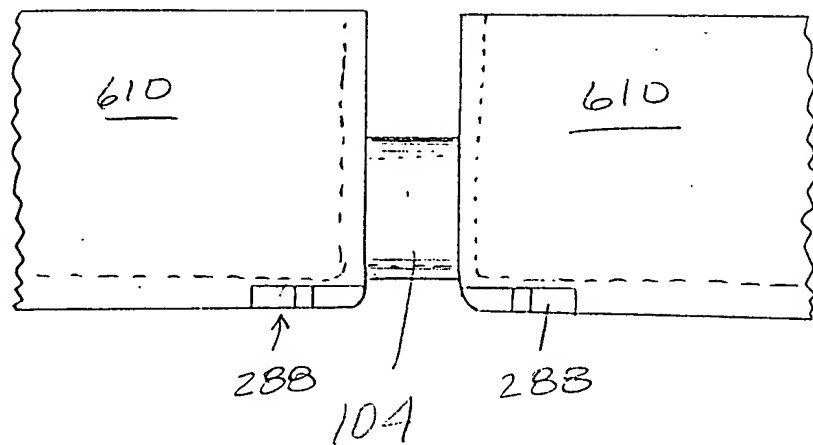


FIG. 13

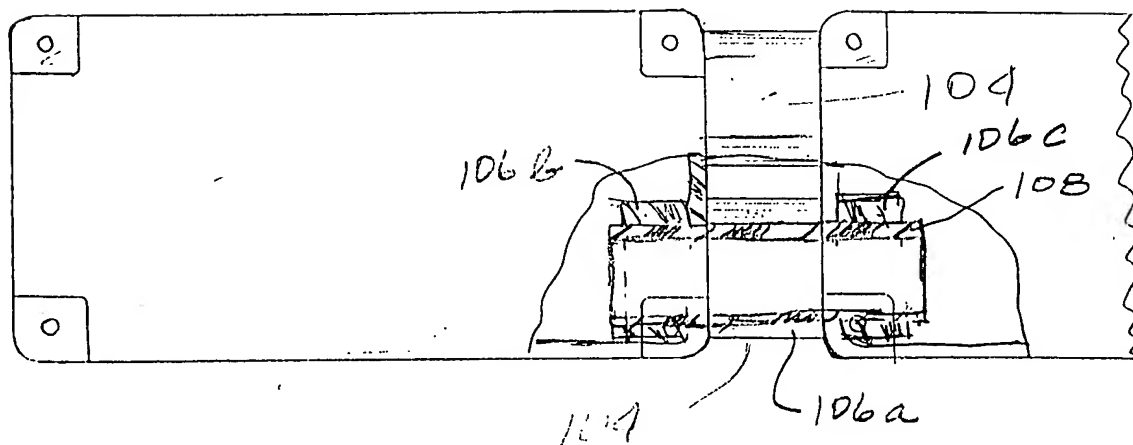


FIG. 14A. 106

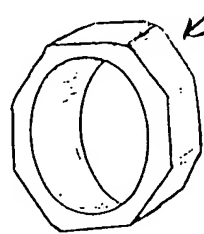
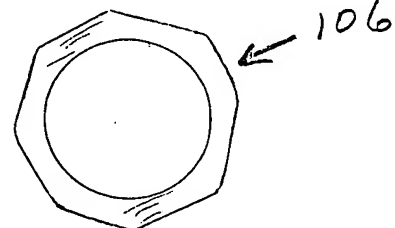


FIG. 14b



1000412210101

7/11

FIG.15.

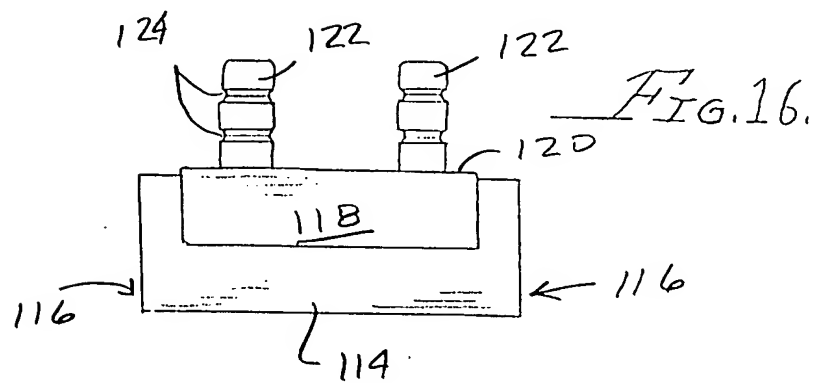
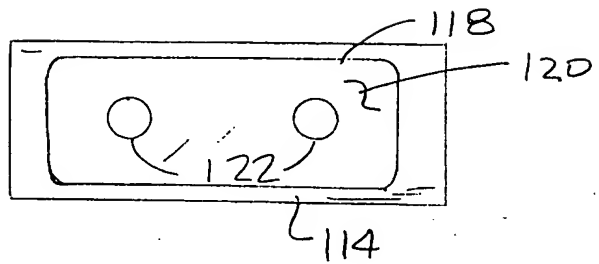


FIG.16.

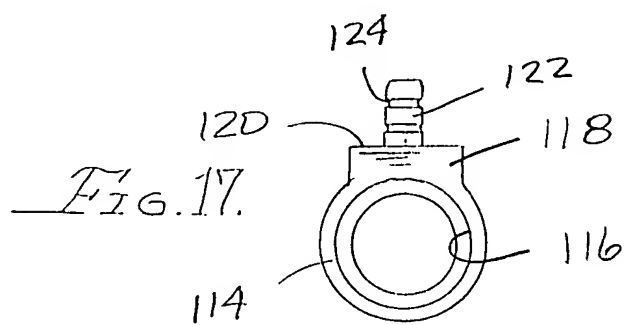
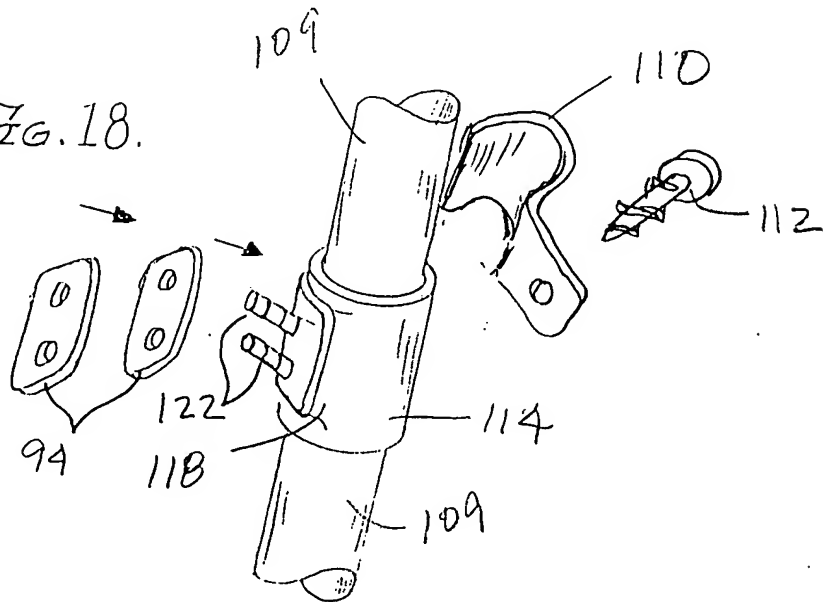


FIG.17.

FIG.18.



1.00041229 1.10101

FIG. 19

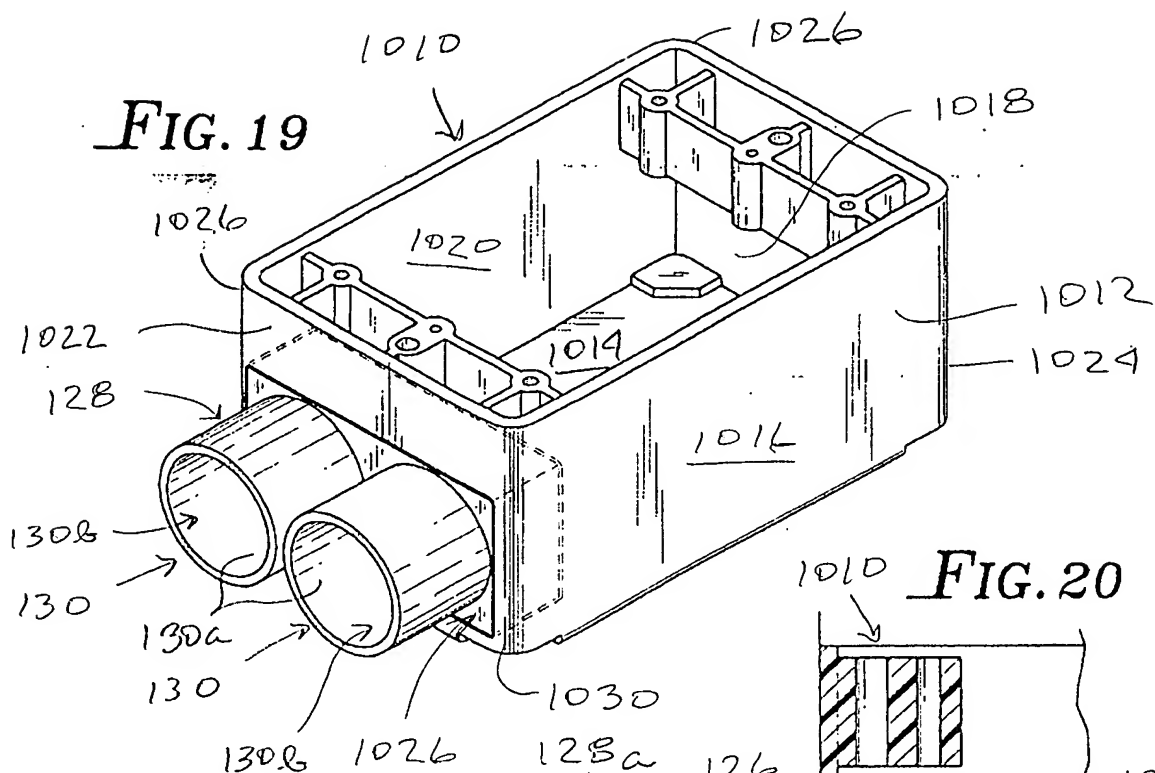


FIG. 20

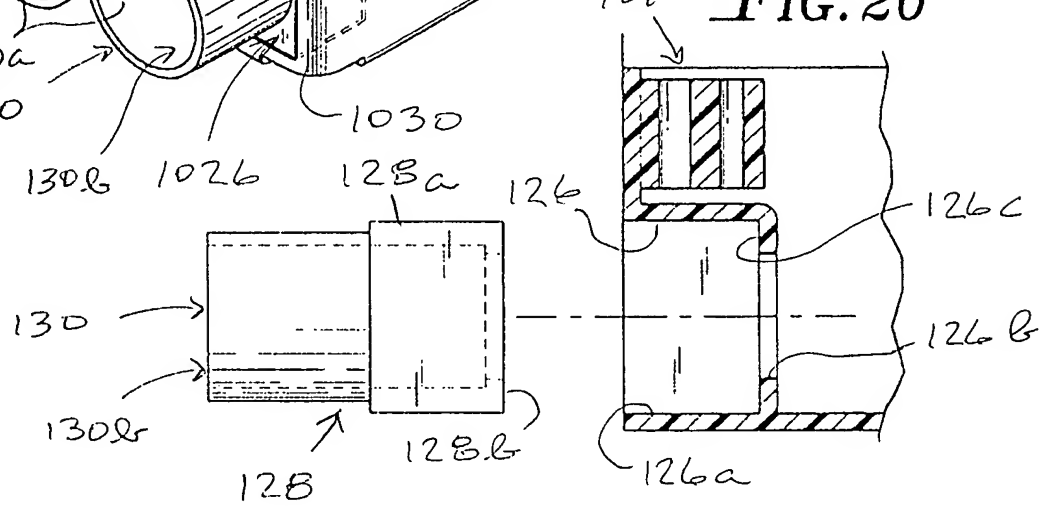
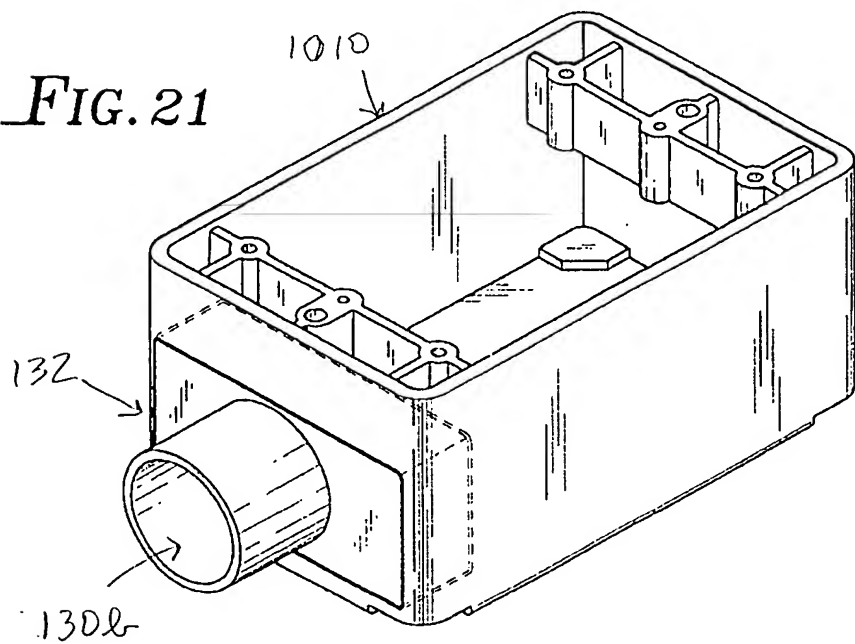


FIG. 21



1,000,412,9,110,101

9111

FIG. 22

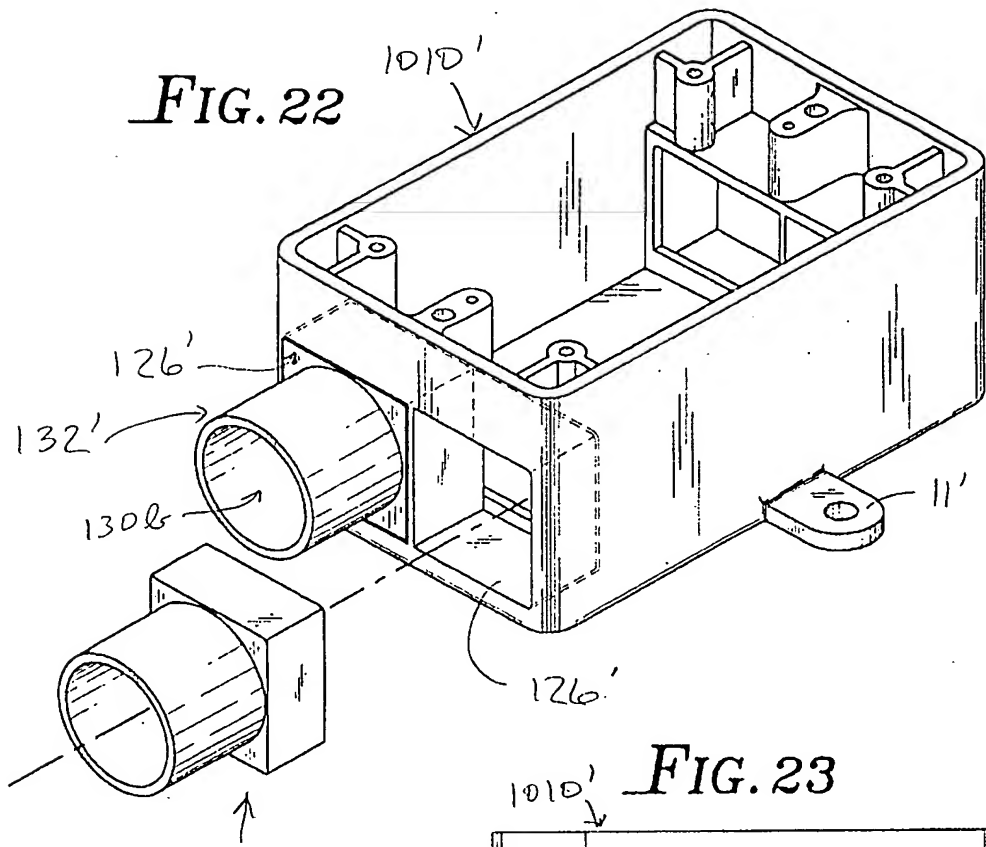


FIG. 23

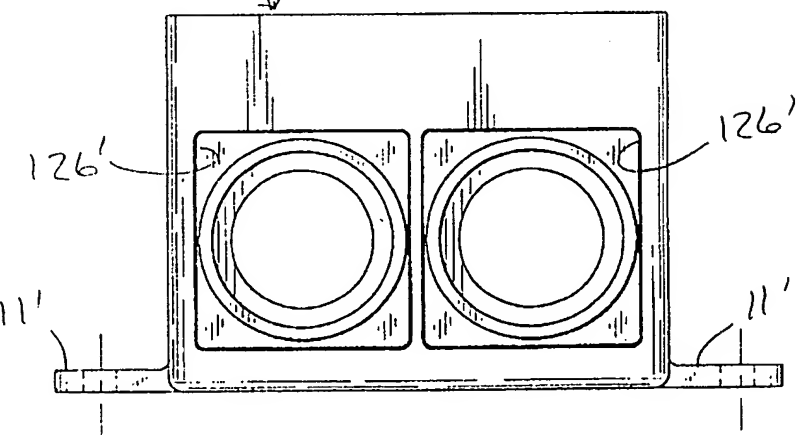


FIG. 24

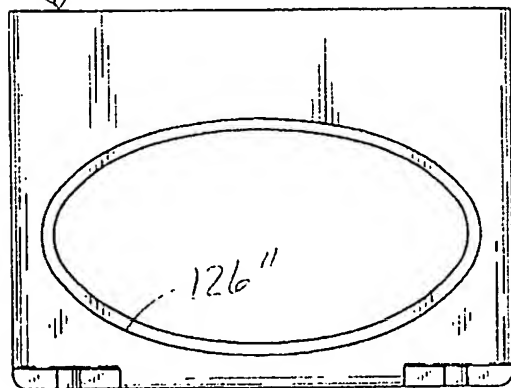
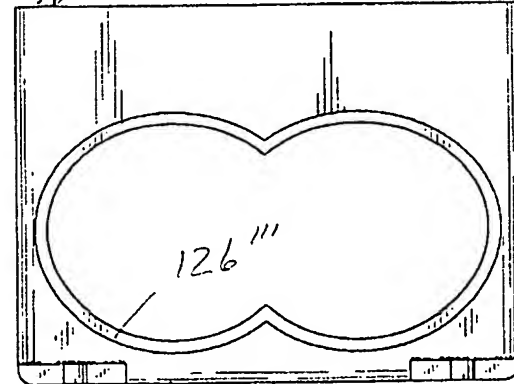
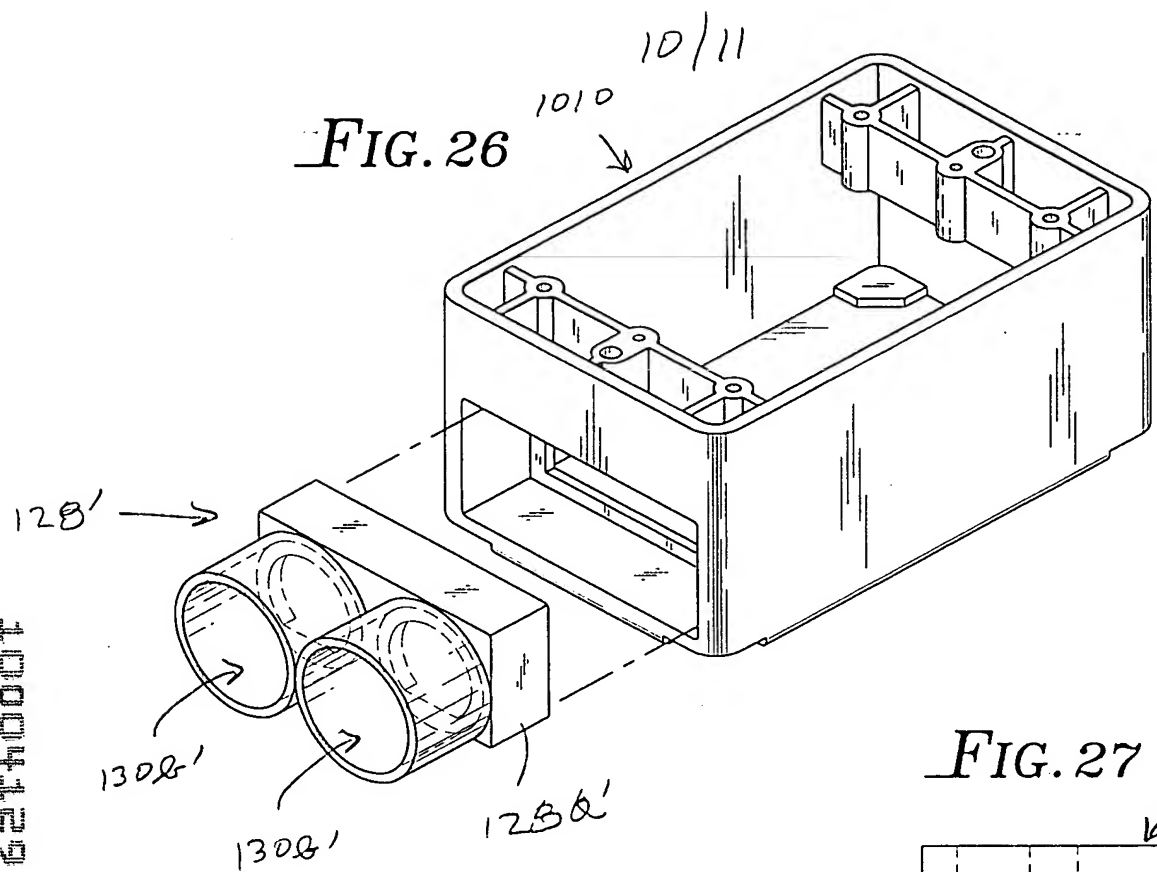


FIG. 25

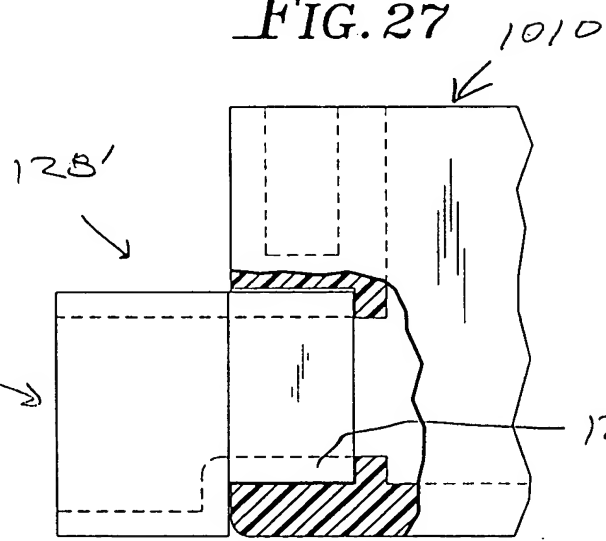


10004129 110101

*FIG. 26*



*FIG. 27*



*FIG. 28*

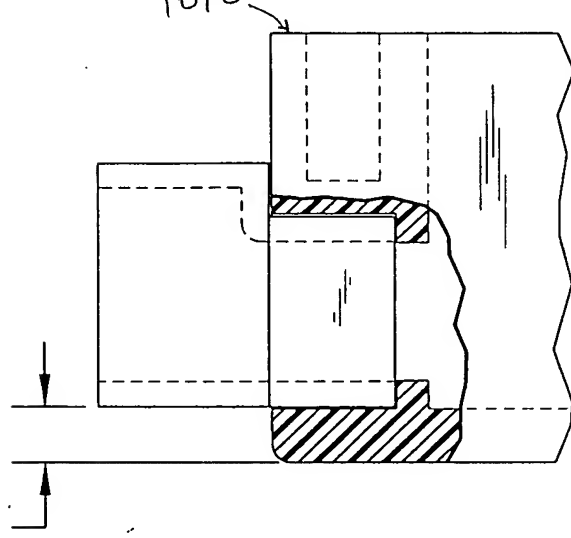


FIG. 29

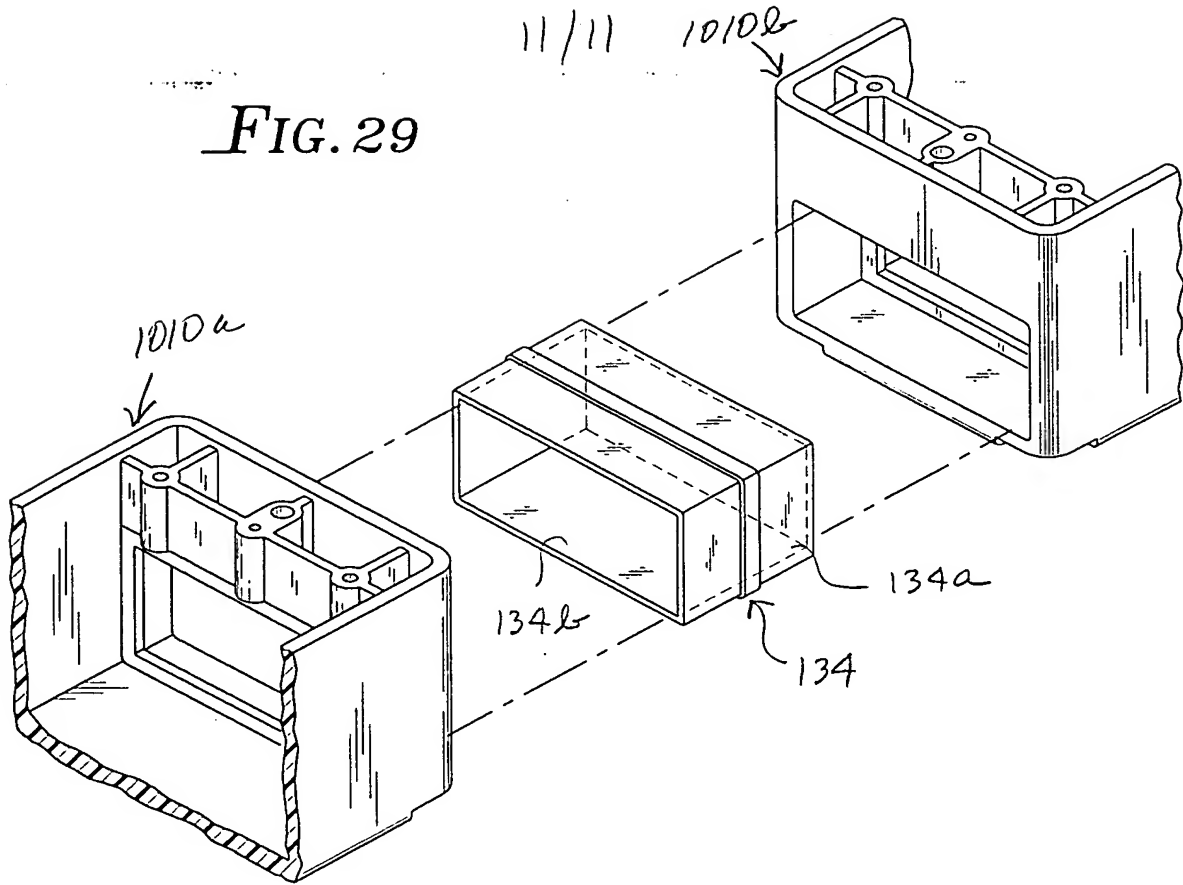


FIG. 30

